

Propriétés élastiques des roches, du terrain au laboratoire

Jérôme Fortin

M. Adelinet, E. David, L. Pimienta, J. Borgomano, H. Yin et Y. Guéguen

Ecole normale supérieure, Laboratoire de Géologie, Paris – France

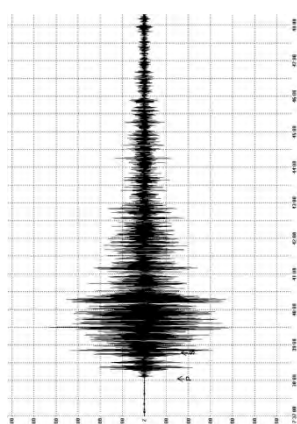


I-Motivation

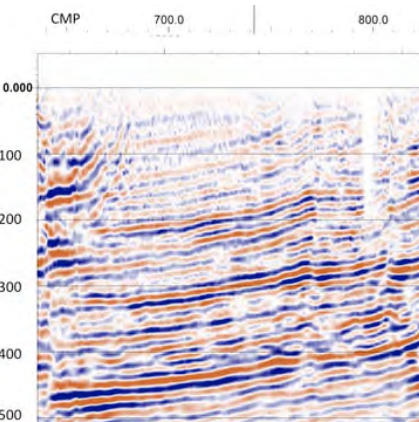
Des fréquences différentes pour des mesures différentes

Comment comparer les mesures ultrasons (HF) du laboratoire avec les mesures de terrain (LF) ?

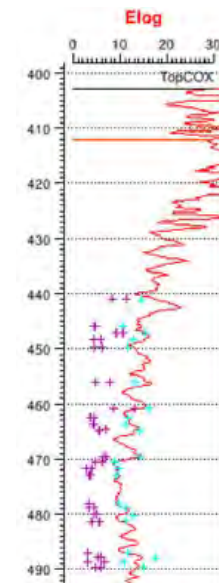
Comment interpréter correctement les mesures de sismiques (log, sismique 4D) ?



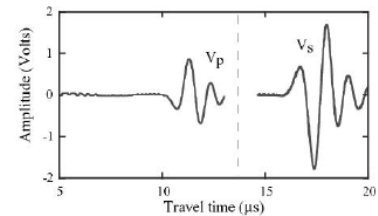
Seismology



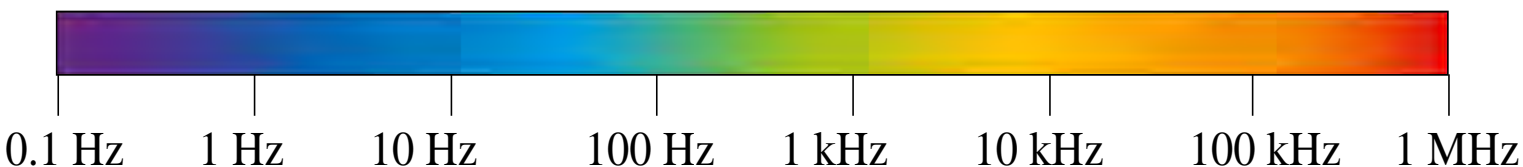
Reservoir monitoring



Sonic log

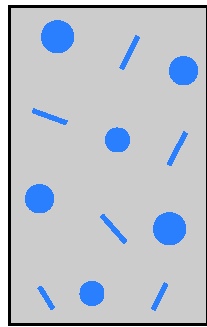


Laboratory



I- Pourquoi les vitesses élastiques dépendent de la fréquence?

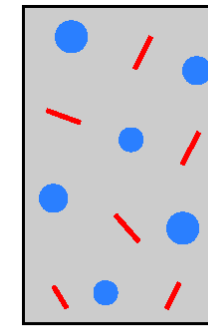
Lié au temps nécessaire pour équilibrer le fluide



drainé

$$f_{cutoff} \approx \frac{4kK}{\eta L^2}$$

$$f_{cutoff} \approx \frac{K\xi^3}{\eta}$$



non drainé

f

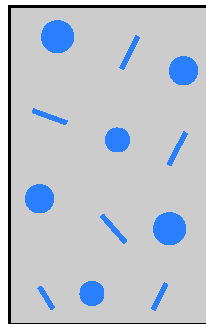
haute-fréquence

A très basse fréquence: **drainé**

→ P_p (pression de pore) est constante et non affecté par le passage de l'onde

I- Pourquoi les vitesses élastiques dépendent de la fréquence?

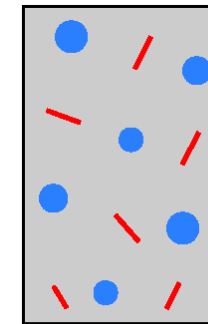
Lié au temps nécessaire pour équilibrer le fluide



drainé

$$f_{cutoff} \approx \frac{4kK}{\eta L^2}$$

$$f_{cutoff} \approx \frac{K\xi^3}{\eta}$$



non drainé

f

haute-fréquence

A très basse fréquence: **drainé**

→ P_p (pression de pore) est constante et non affecté par le passage de l'onde

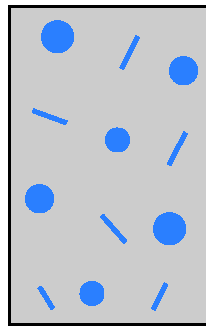
Fréquence intermédiaire: **non - drainé**

→ P_p est uniforme localement (VER), et change au passage de l'onde

→ Prédit dans le cadre de la poroélasticité

I- Pourquoi les vitesses élastiques dépendent de la fréquence?

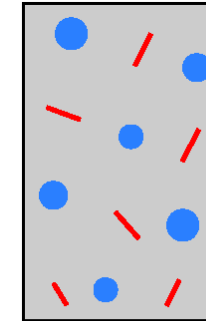
Lié au temps nécessaire pour équilibrer le fluide



drainé

$$f_{cutoff} \approx \frac{4kK}{\eta L^2}$$

$$f_{cutoff} \approx \frac{K\xi^3}{\eta}$$



non drainé

f

haute-fréquence

A très basse fréquence: **drainé**

→ P_p (pression de pore) est constante et non affecté par le passage de l'onde

Fréquence intermédiaire: **non - drainé**

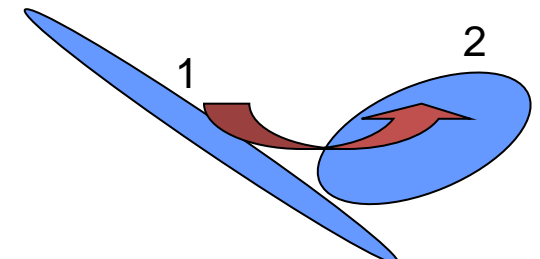
→ P_p est uniforme localement (VER), et change au passage de l'onde

→ Prédit dans le cadre de la poroélasticité

Haute fréquence: chaque vide est isolé

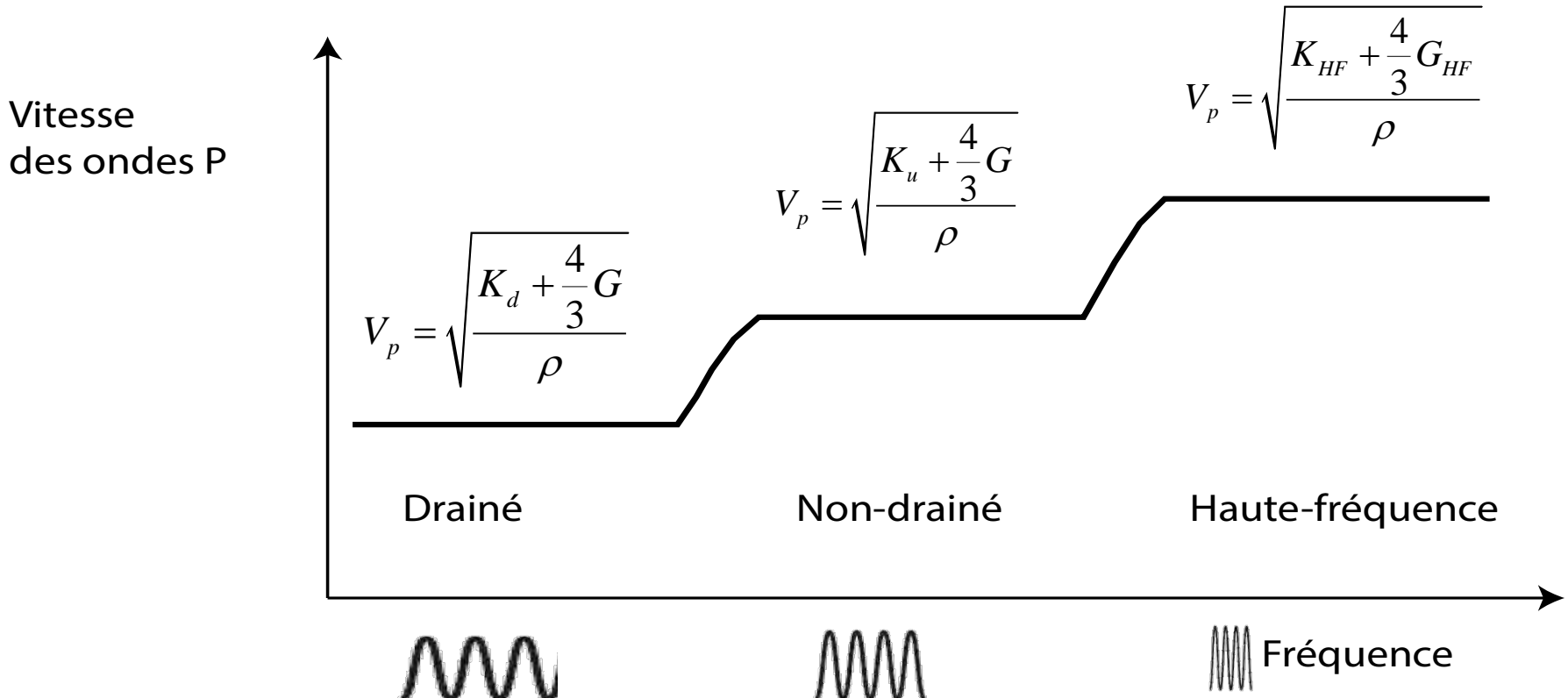
→ Par exemple, pression de pore $P_1 > P_2$

→ Ce n'est plus le cadre de la poroélasticité mais celui des **théories de milieux effectifs**





I- Pourquoi les vitesses élastiques dépendent de la fréquence?

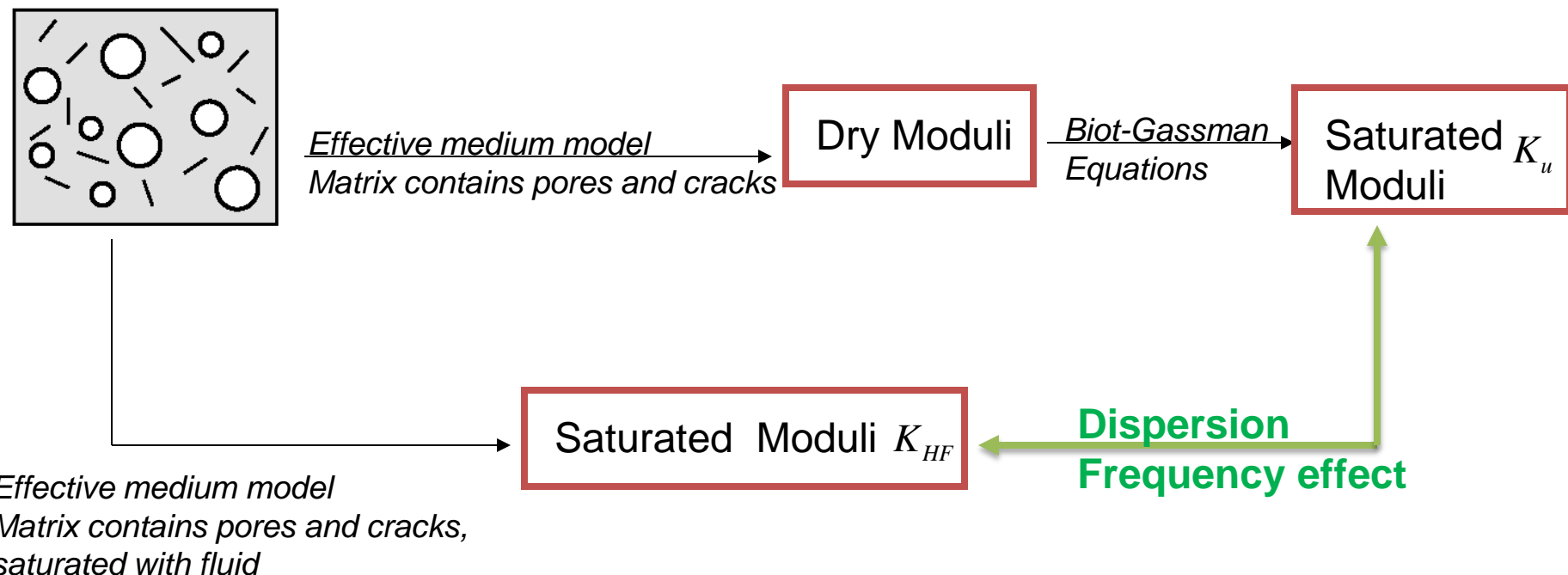


D'autres mécanismes peuvent expliquer une dispersion sur les vitesses

- Milieu hétérogène (scattering)
- Milieu partiellement saturé
- Effet inertiel (Théorie de Biot-dynamique)

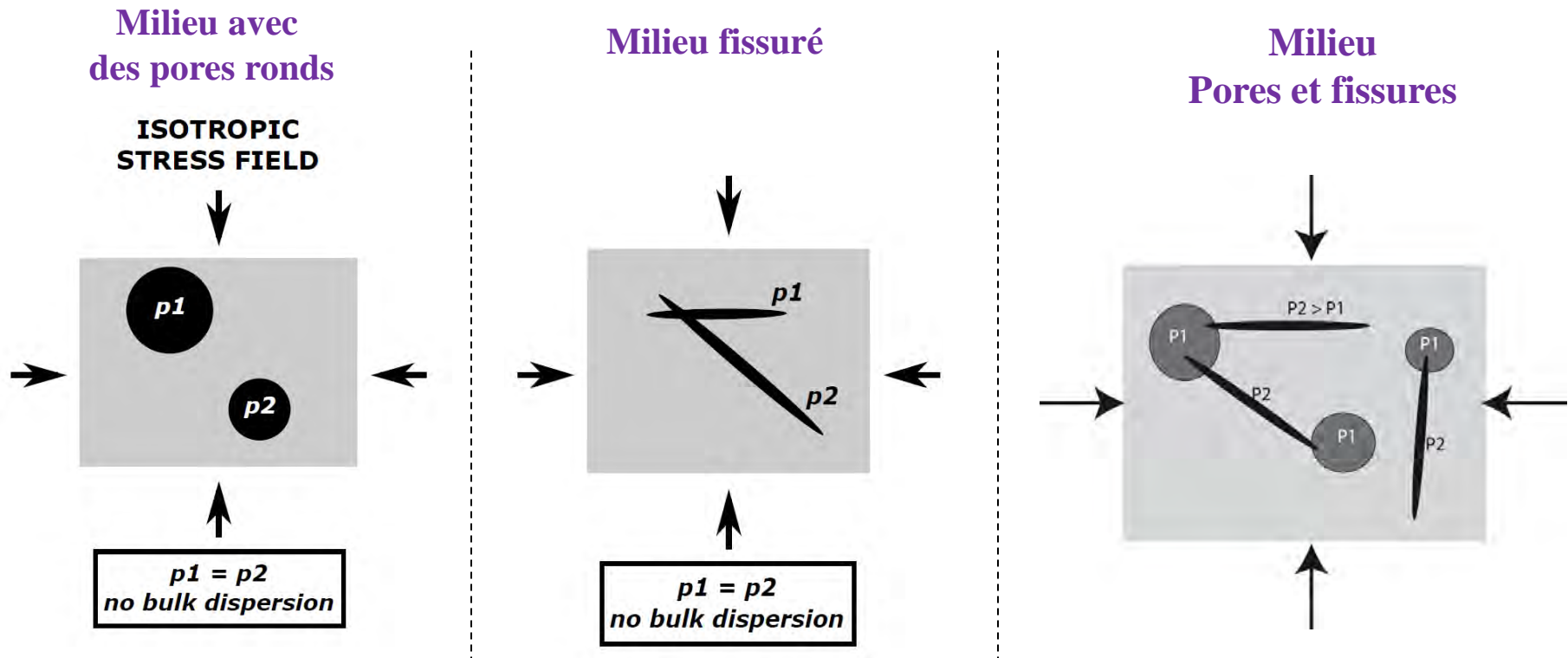
II- Les modules élastiques haute fréquence sont-ils si différents de ce que prédit Biot-Gassman ?

Un modèle simple pour estimer la dispersion en fréquence (Etude sur le module d'incompressibilité K)



II- Les modules élastiques haute fréquence sont-ils si différents de ce que prédit Biot-Gassman ?

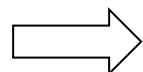
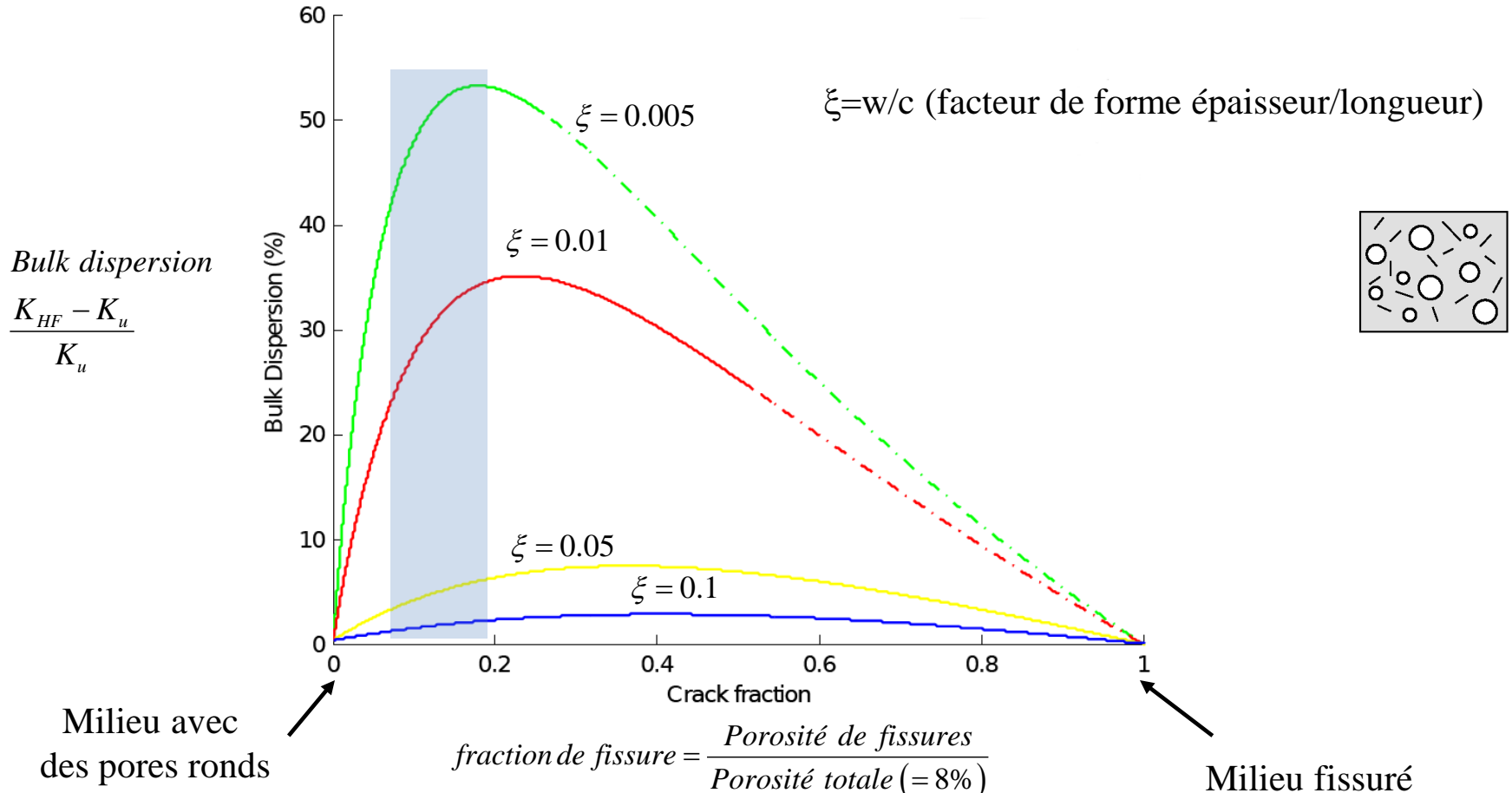
Les cas particuliers



→ La dispersion en fréquence est liée à la microstructure, et s'explique par le phénomène de squirt flow (écoulement d'une fissure vers un pore).

II- Les modules élastiques haute fréquence sont-ils si différents de ce que prédit Biot-Gassman ?

Un modèle simple pour estimer la dispersion en fréquence

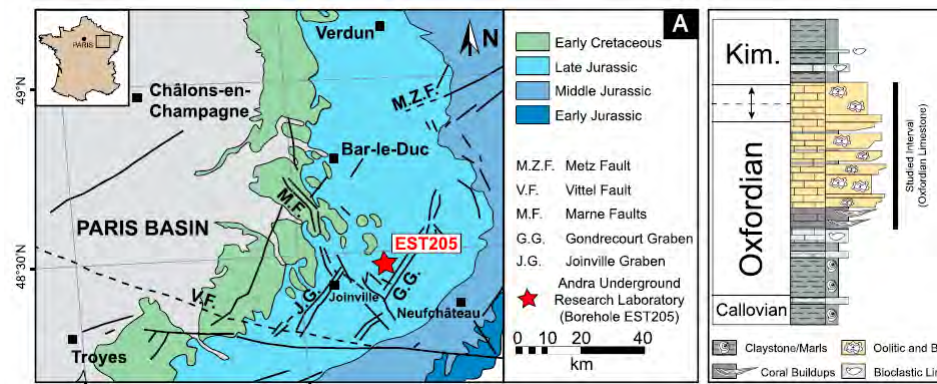
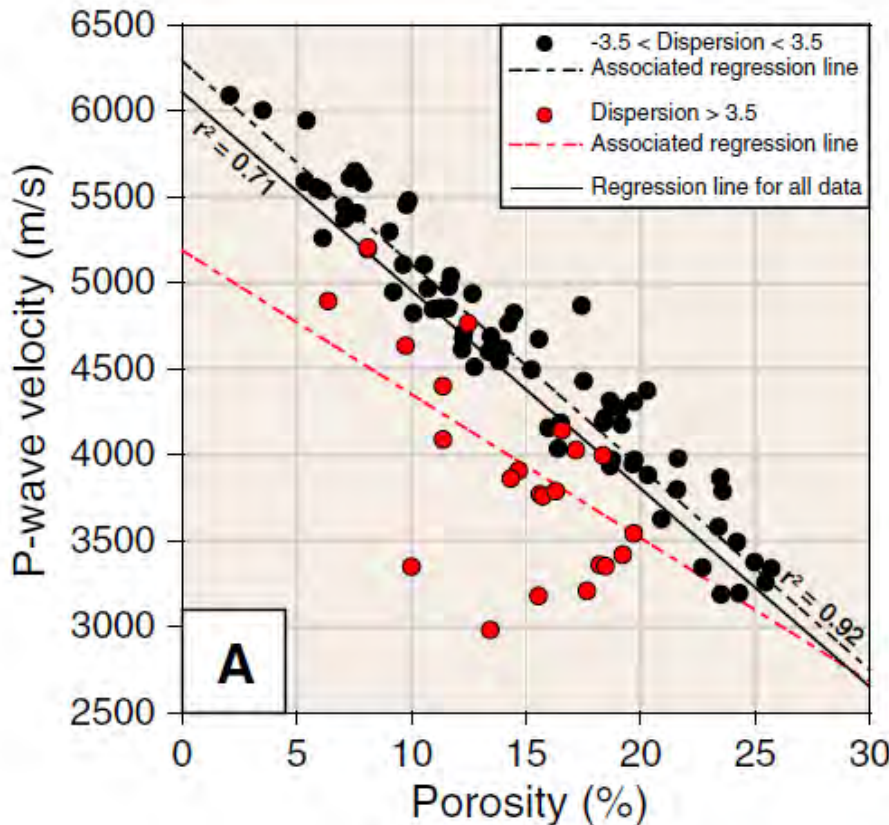


La dispersion peut facilement atteindre 30 %



II- Les modules élastiques haute fréquence sont-ils si différents de ce que prédit Biot-Gassman ?

Conséquence : Si je mesure les vitesses ultrasoniques dans une échantillon poreux sec et saturé, et que la vitesse en saturé est supérieure à la prédition de Biot-Gassman = il y a des fissures dans l'échantillon ...

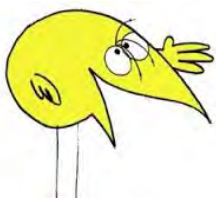
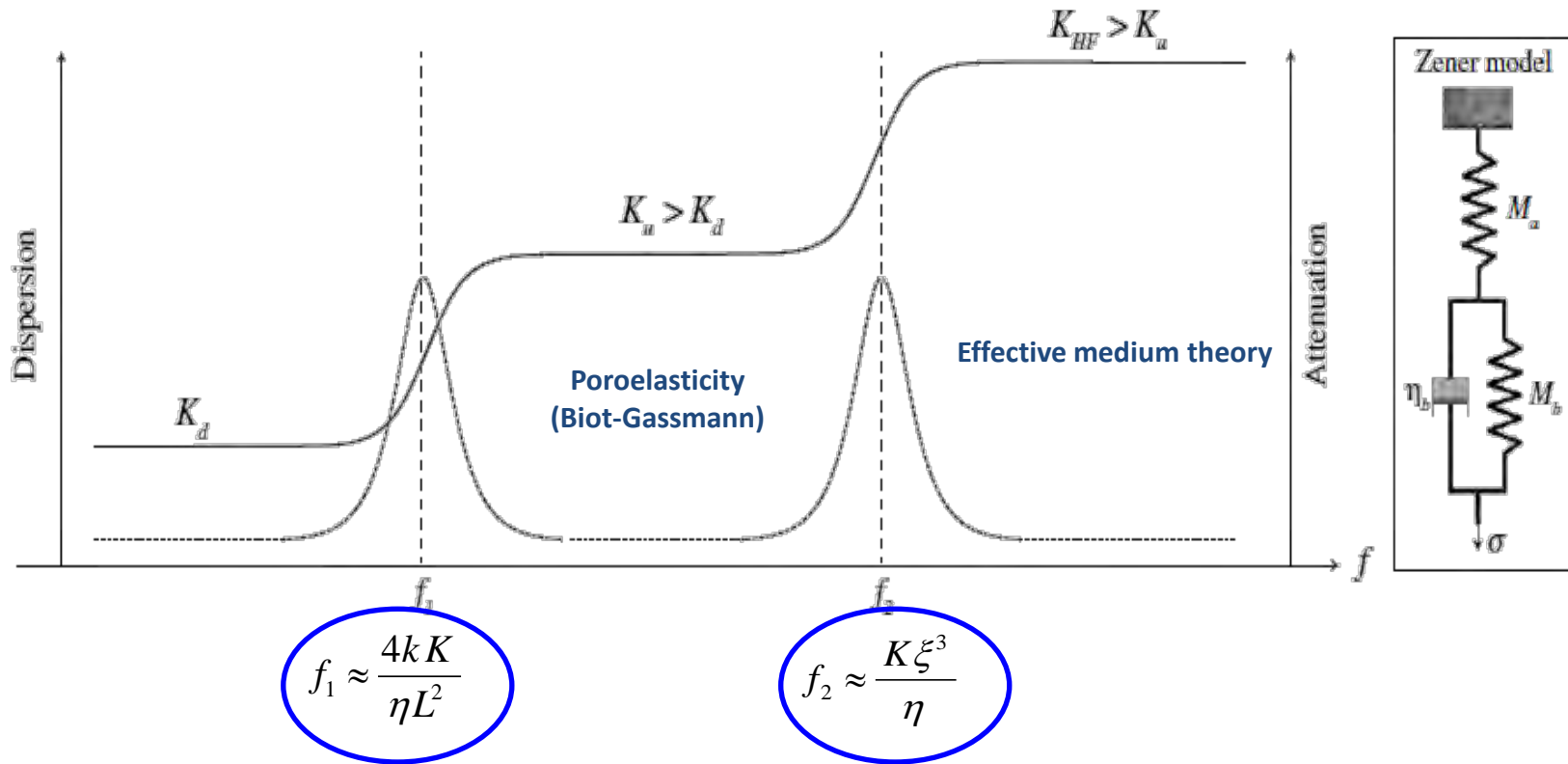


Regnet et al. JGR 2014
(carbonate de l'oxfordien)



II- Des changements de régime pour quelle fréquence ?

Evolution du module K avec la fréquence:



$$f_2 \approx \frac{K\xi^3}{\eta} = \frac{40 \text{ GPa} (10^{-3})^3}{10^{-3}} = 20 \text{ kHz}$$

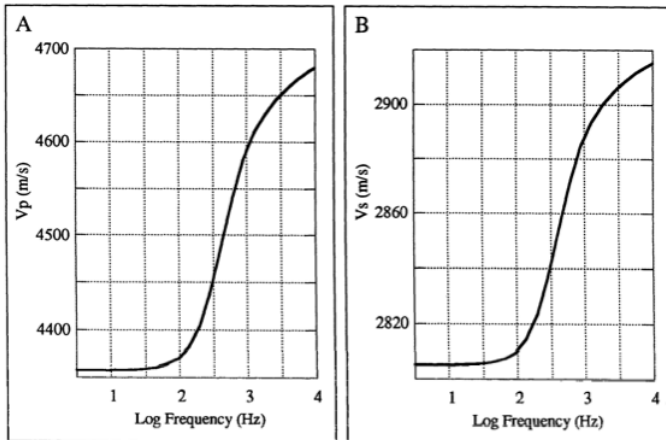
Proche de la fréquence des outils de diagraphie!

II- Des changements de régime pour quelle fréquence ?

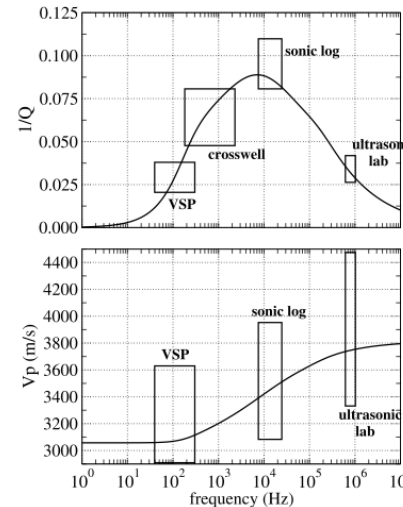
Peu de données de laboratoire

Des prédictions théoriques

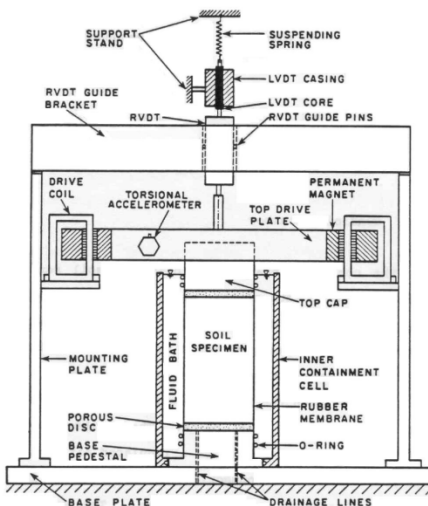
Dvorkin et al. 1995



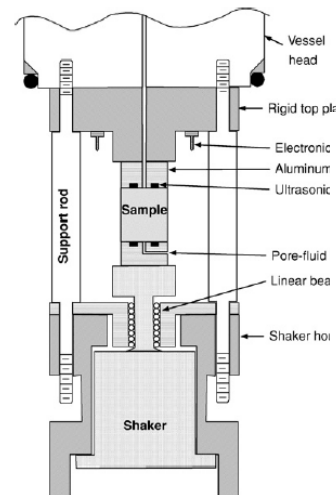
Pride et al. 2004



Mais peu de mesures basses fréquences des modules élastiques au laboratoire



Measures en barres (2-5Khz)
résonnantes
*Richart et al. 1970;
Lucet et al. 1991
Priest et al. 2005,*

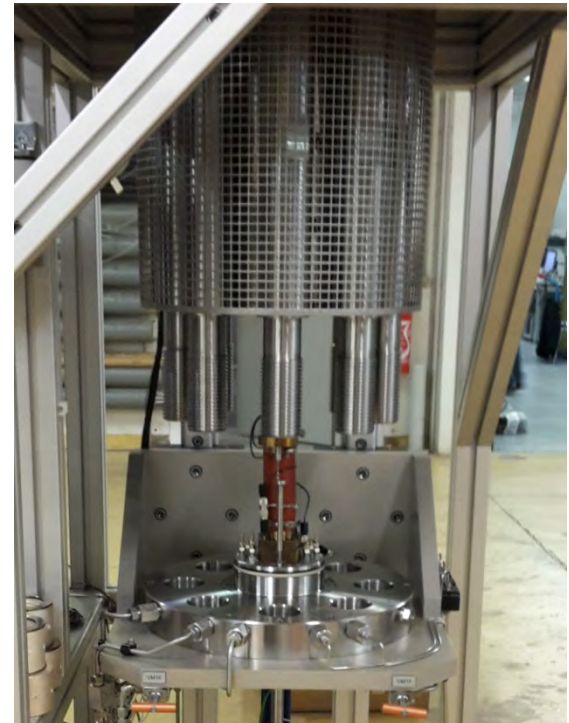


Mesures d'oscillations forcées
*Spencer 1981
Jackson, 1991
Batzle et al. 2004,
Batzle and Han 2006,*

II- Approche expérimentale

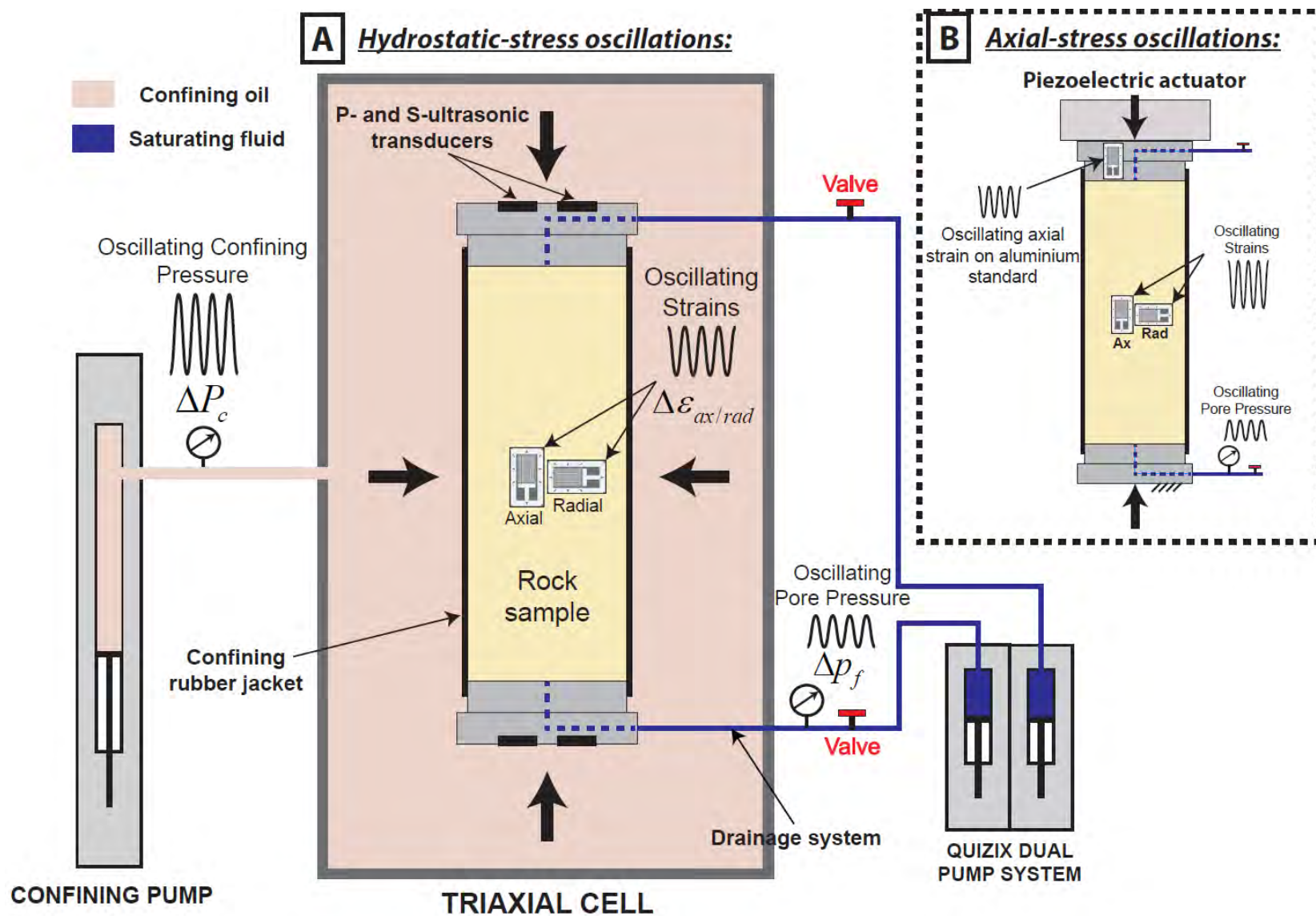
Objectif: mesurer les vitesses élastiques en fonction de la fréquence via les modules élastiques

Presse triaxiale



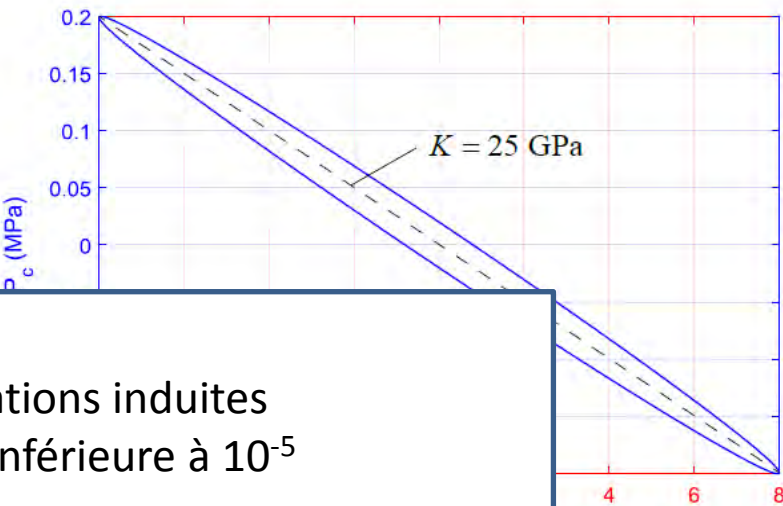
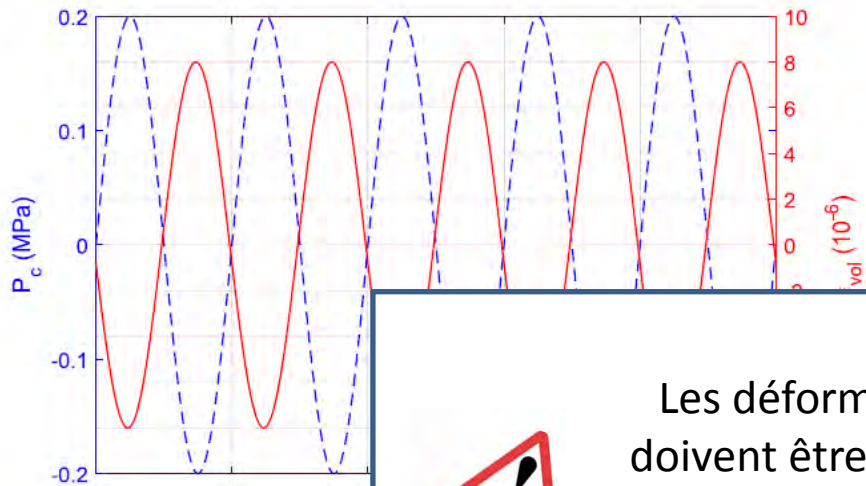
$$P_c = 0 - 100 \text{ MPa}$$
$$T = 20 - 100^\circ\text{C}$$

II- Approche expérimentale : méthode dite de “strain-stress”



II- Approche expérimentale : méthode dite de “strain-stress”

1) Oscillations Hydrostatiques



Les déformations induites doivent être inférieure à 10^{-5}

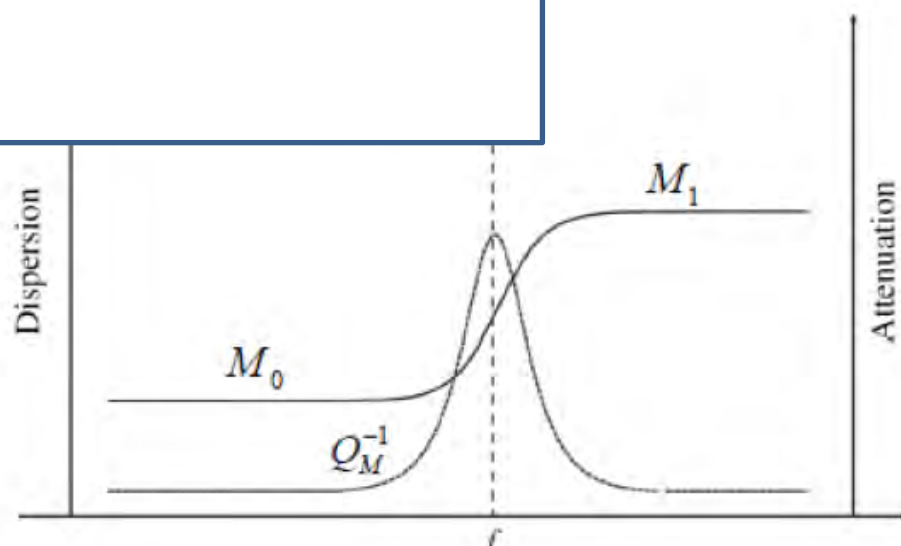
Pour le module E, on parle de déplacements d'environ 10 microns

Attenuation / Viscosity



$$Q^{-1} = \frac{1}{2\pi} \frac{\Delta E}{E} = \tan(\varphi_\sigma - \varphi_\varepsilon)$$

Dispersion and attenuation are related.

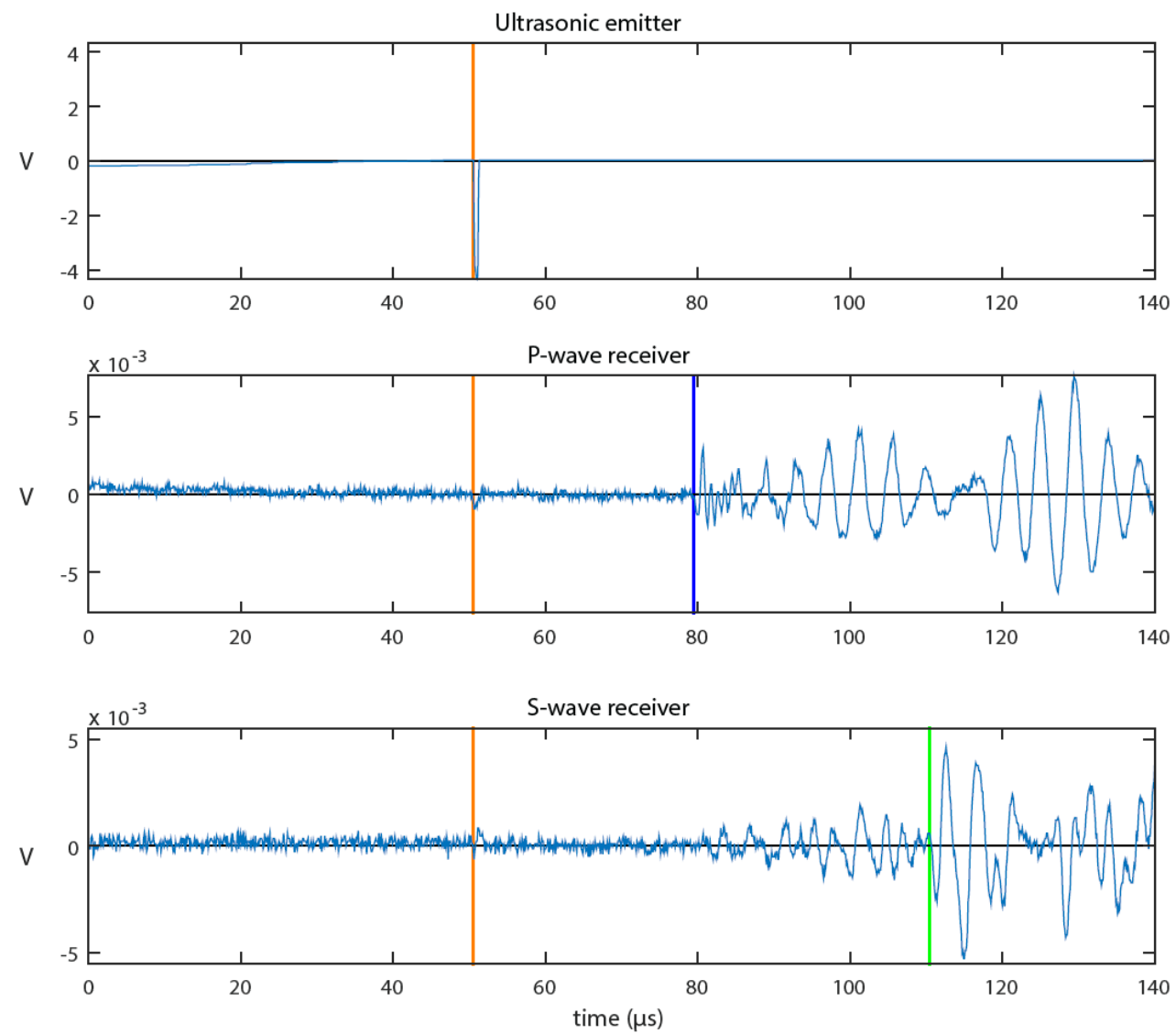


II- Approche expérimentale : mesures des vitesses ultrasoniques

3) Ultrasons

$$V_p = \sqrt{\frac{K + \frac{4}{3}G}{\rho}}$$

$$V_s = \sqrt{\frac{G}{\rho}}$$



II- Approche expérimentale : méthode dite de “strain-stress”

1) Oscillations Hydrostatiques $f=0,01 - 1\text{Hz}$

2) Oscillations Axiales $f=0,01-100\text{Hz}$

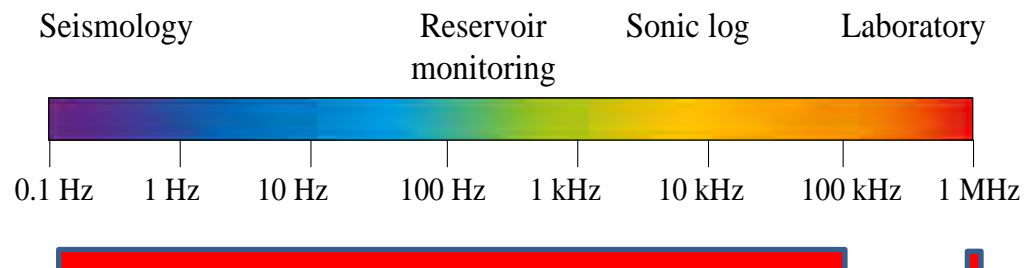
$$f_1 \approx \frac{4kK}{\eta L^2} \quad f_2 \approx \frac{K\xi^3}{\eta}$$

On peut jouer sur la viscosité du fluide ! (eau, glycerine)

Fréquence apparente $f_a = f \frac{\eta}{\eta_{eau}}$

1) Oscillations Hydrostatiques $f_a = 0,01 - 1\text{ kHz}$

2) Oscillations Axiales $f_a=0,01-100\text{ kHz}$



Gamme atteignable au laboratoire (sous pression)

II- Approche expérimentale : méthode dite de “strain-stress”

Calibration

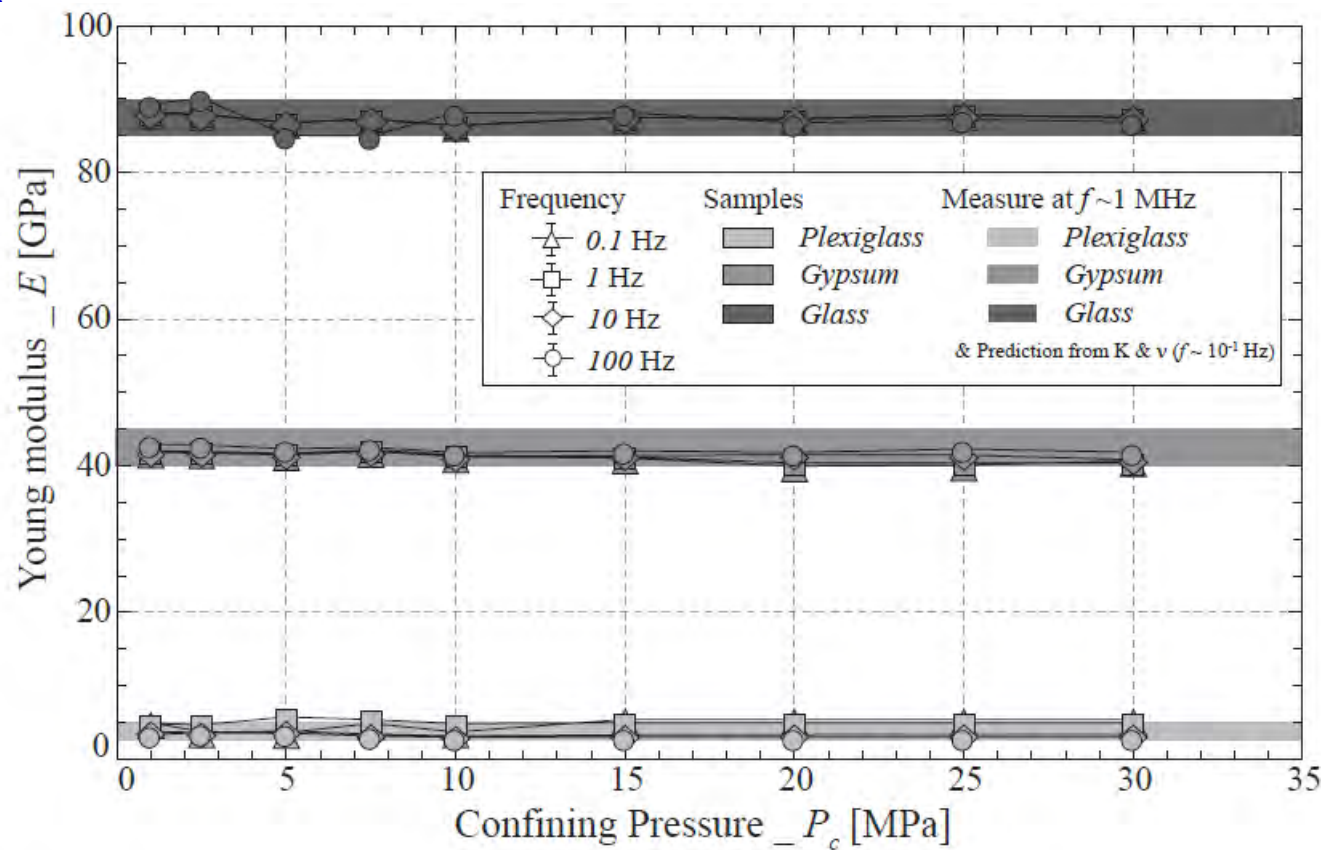
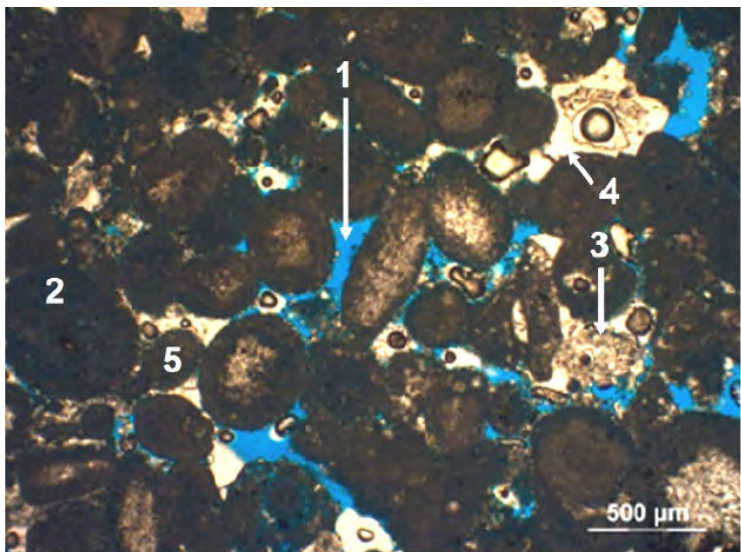


Figure 4: Measured pressure dependence of the three reference samples Poisson coefficient E_{LF} (a) and its related attenuation Q_E^{-1} (b) for the four different frequencies. The E_{LF} are compared to data from the literature on all three samples.

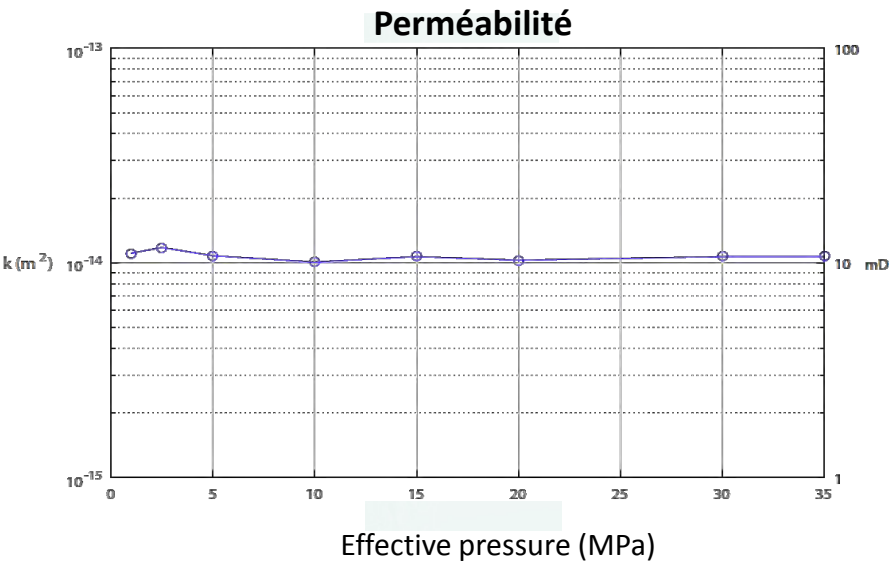
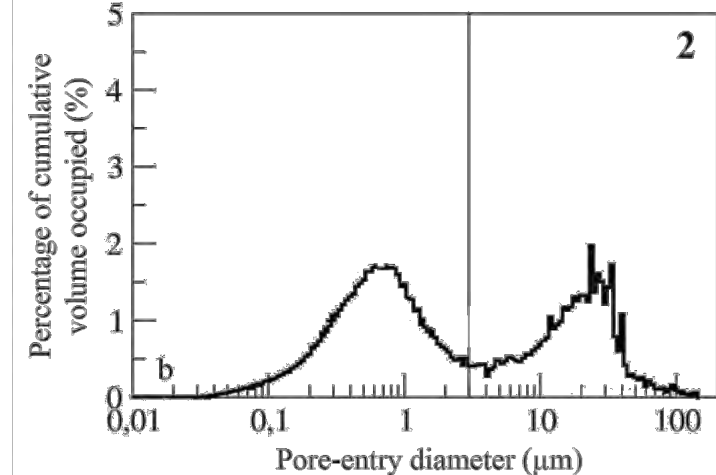
III- Resultats sur le Lavoux (carbonate)

Microstructure of Lavoux limestone:

Oolitic grainestone

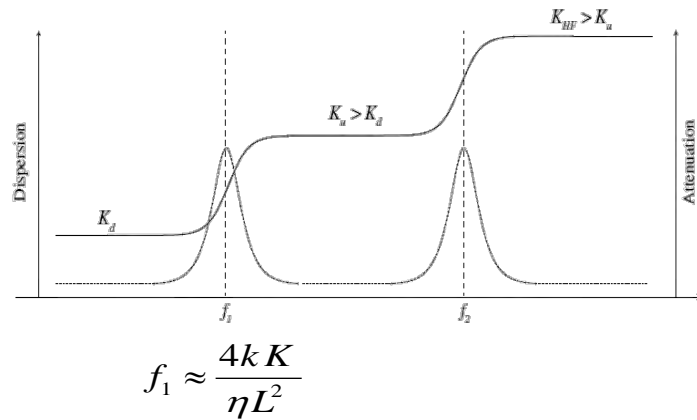
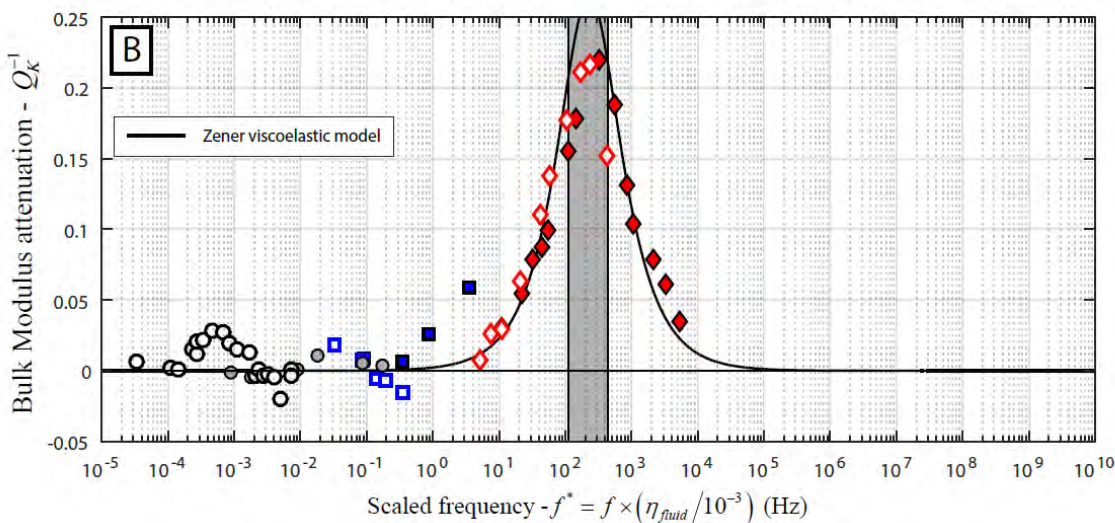
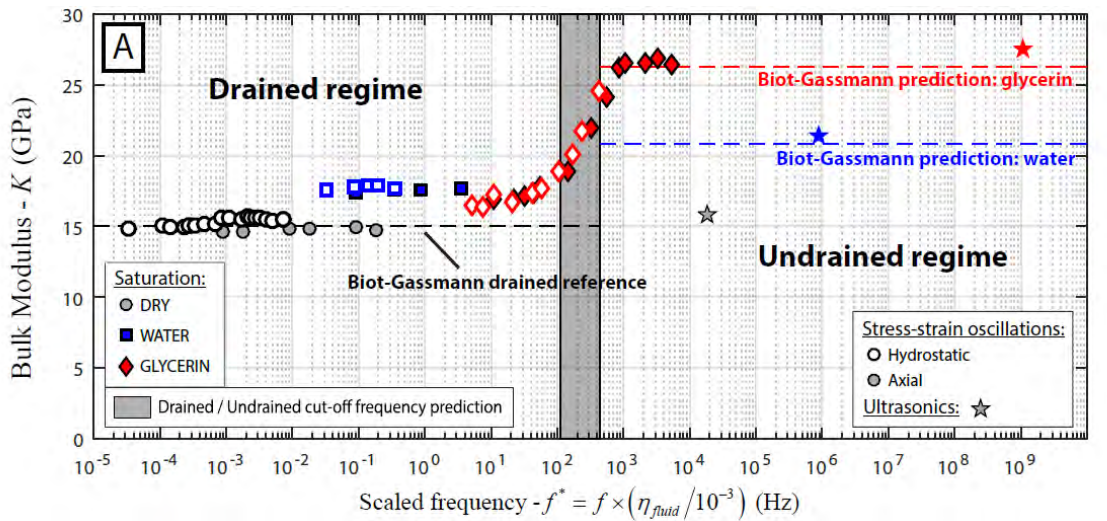


- 1: Macroporosity
- 2: Oolite
- 3: Echinoderm fragment
- 4: Syntaxial cement
- 5: Pellet.



III- Resultats sur le Lavoux (carbonate)

$P_{diff} = 2.5 \text{ MPa}$

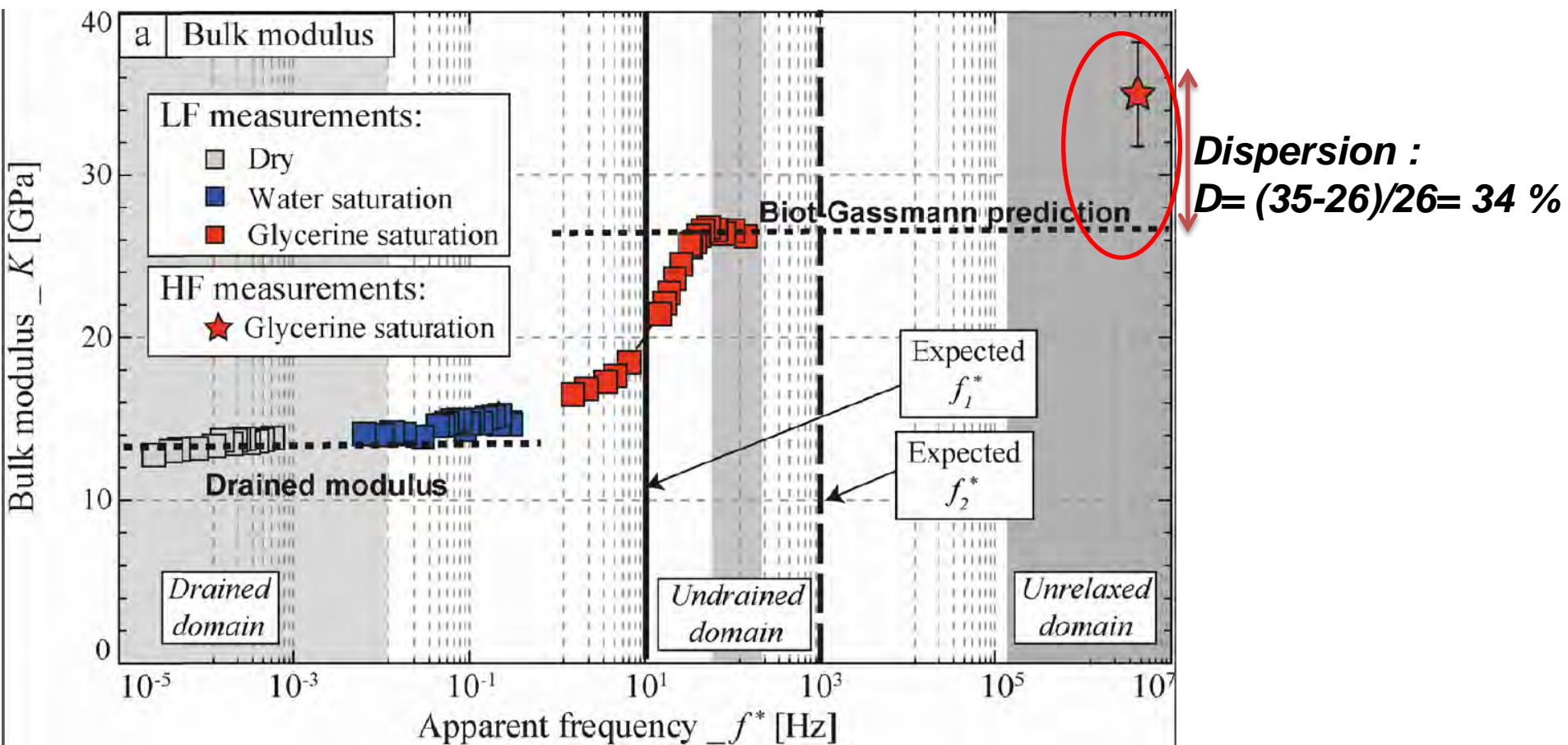


- Observation du passage drainé-non drainé à 500 Hz
- Validation de la prédition de Biot-Gassman
 - Fréquence de coupure en accord avec la prédition
 - Pas de squirt flow !!

III- Résultats sur le grès de Fontainebleau

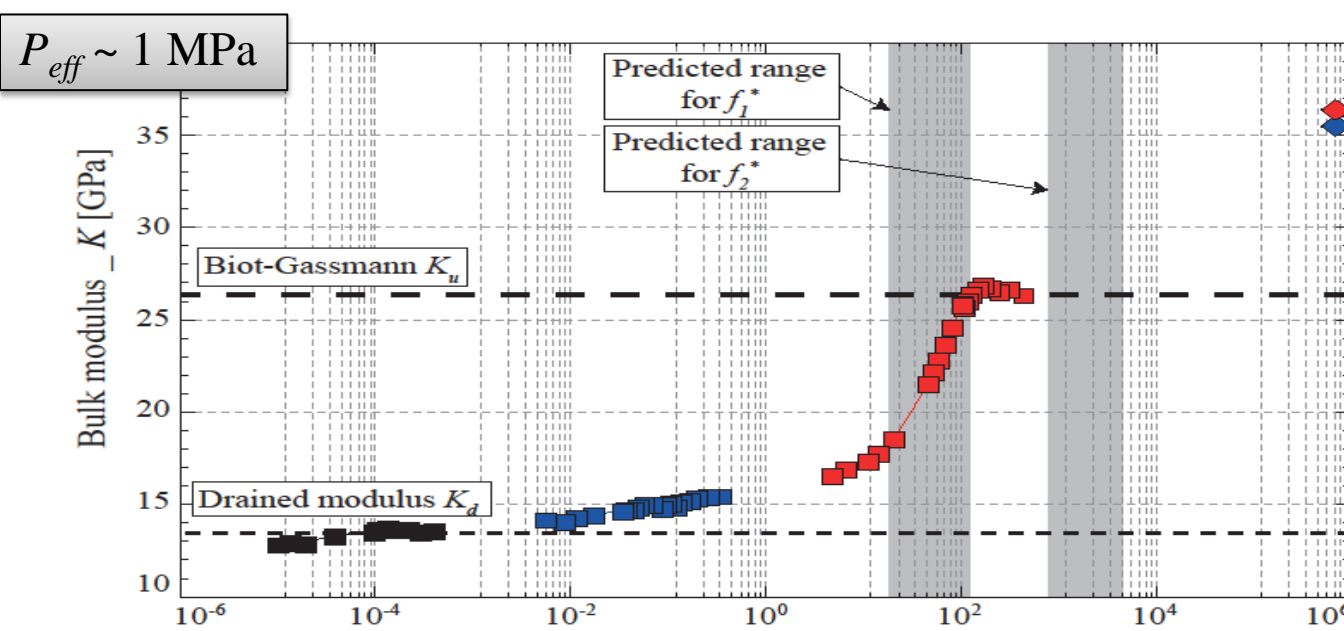
$$P_{eff} \sim 1 \text{ MPa}$$

Sandstone
Porosity 7%
Permeability 1 mD
Pure quartz



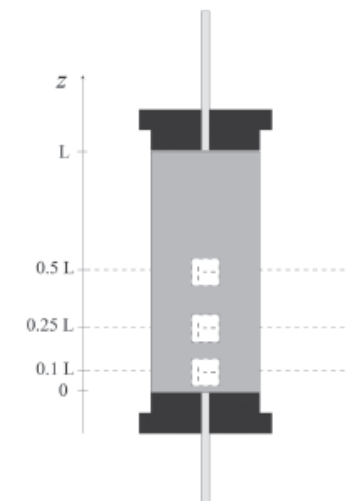
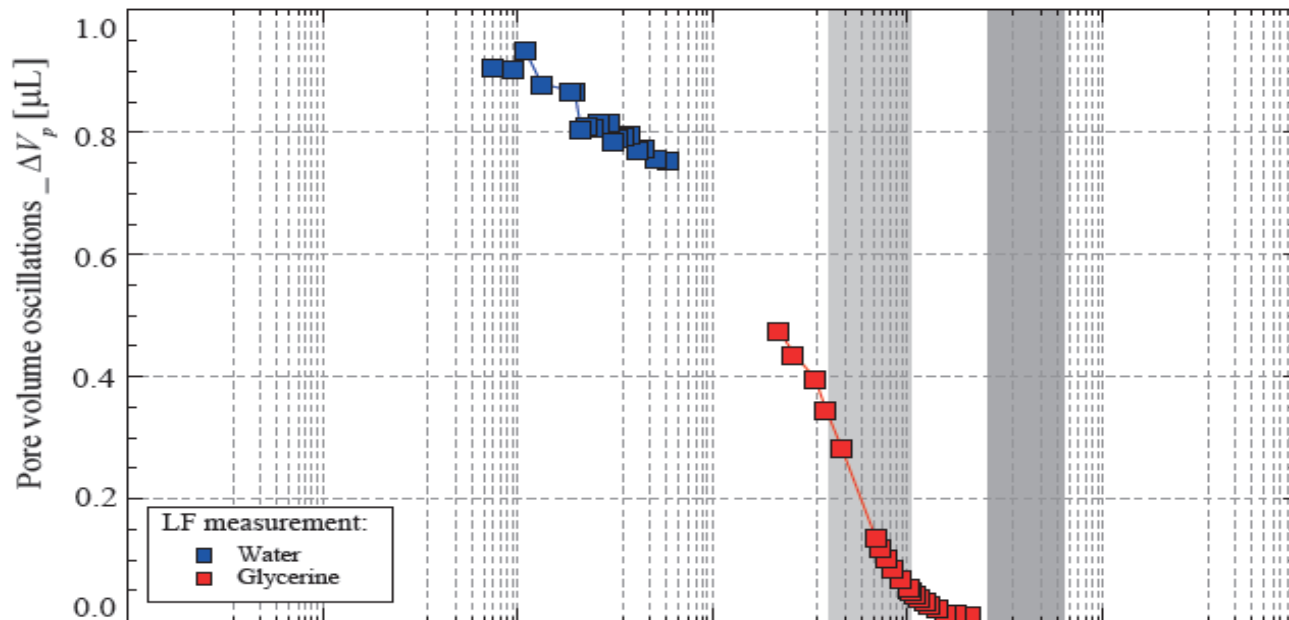
III- Résultats sur le grès de Fontainebleau

Focus sur la première transition drainé/non drainé



Volume de fluide entrant et sortant dans le système

Confirme la transition drainé – non drainé



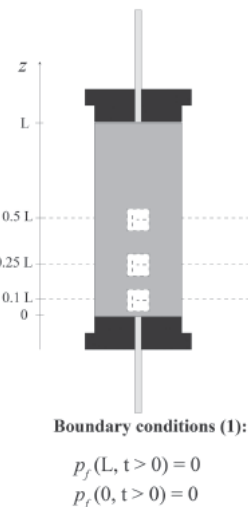
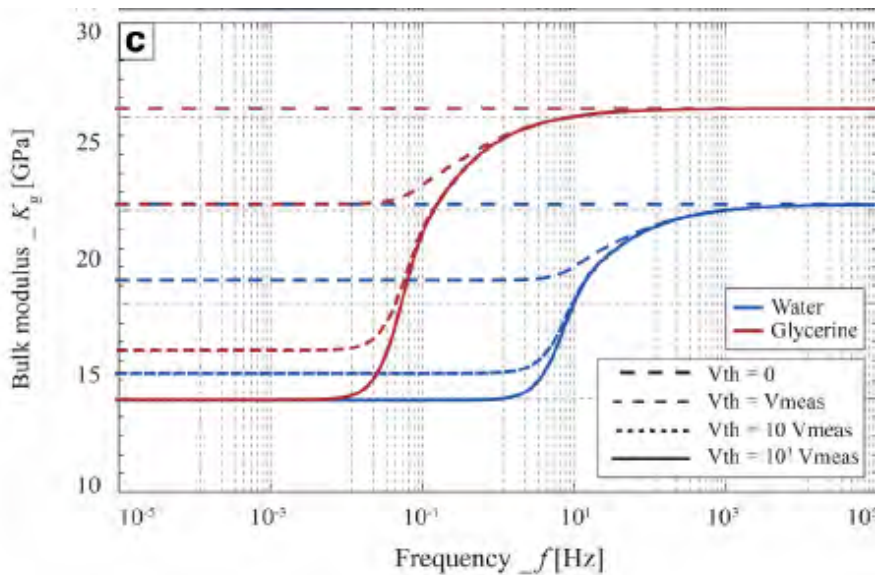
$$p_f(L, t > 0) = 0$$

$$p_f(0, t > 0) = 0$$

III- Résultats sur le grès de Fontainebleau

Focus sur la première transition drainé/non drainé

Doit on prendre un système ouvert ou fermé ?



$$\frac{\partial p_f}{\partial t} - \frac{\kappa B K_d}{\eta \alpha} \frac{\partial^2 p_f}{\partial z^2} = B \frac{\partial P}{\partial t}.$$

Conditions limites

- système ouvert (pression fixée au bord)
- système fermé (prise en compte des volumes morts)

Ghabezloo et Sulem 2009
Pimienta et al. 2016

Une transition contrôler par les conditions limites
L longueur de diffusion (de l'échantillon !)
Sur le terrain L est proportionnelle à la longueur d'onde

$$f_1 \approx \frac{4kK}{\eta L^2}$$

Néanmoins très intéressant

- donne des informations sur le comportement poromécanique de la roche
- Ne doit pas être confondu avec la transition non drainé / Haute fréquence !

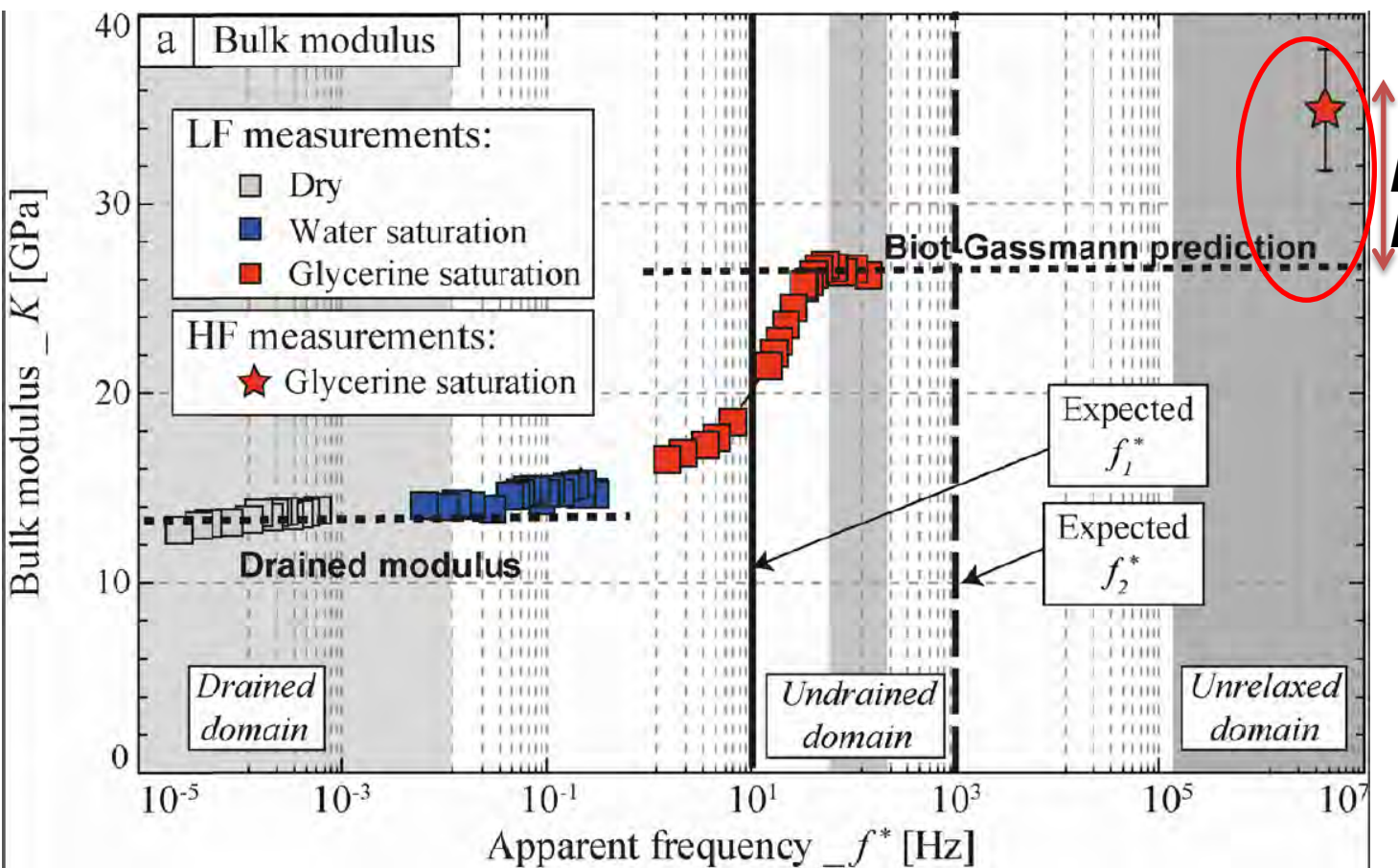


III- Résultats sur le grès de Fontainebleau

Focus sur la seconde transition non drainé – Haute Fréquence

$P_{eff} \sim 1 \text{ MPa}$

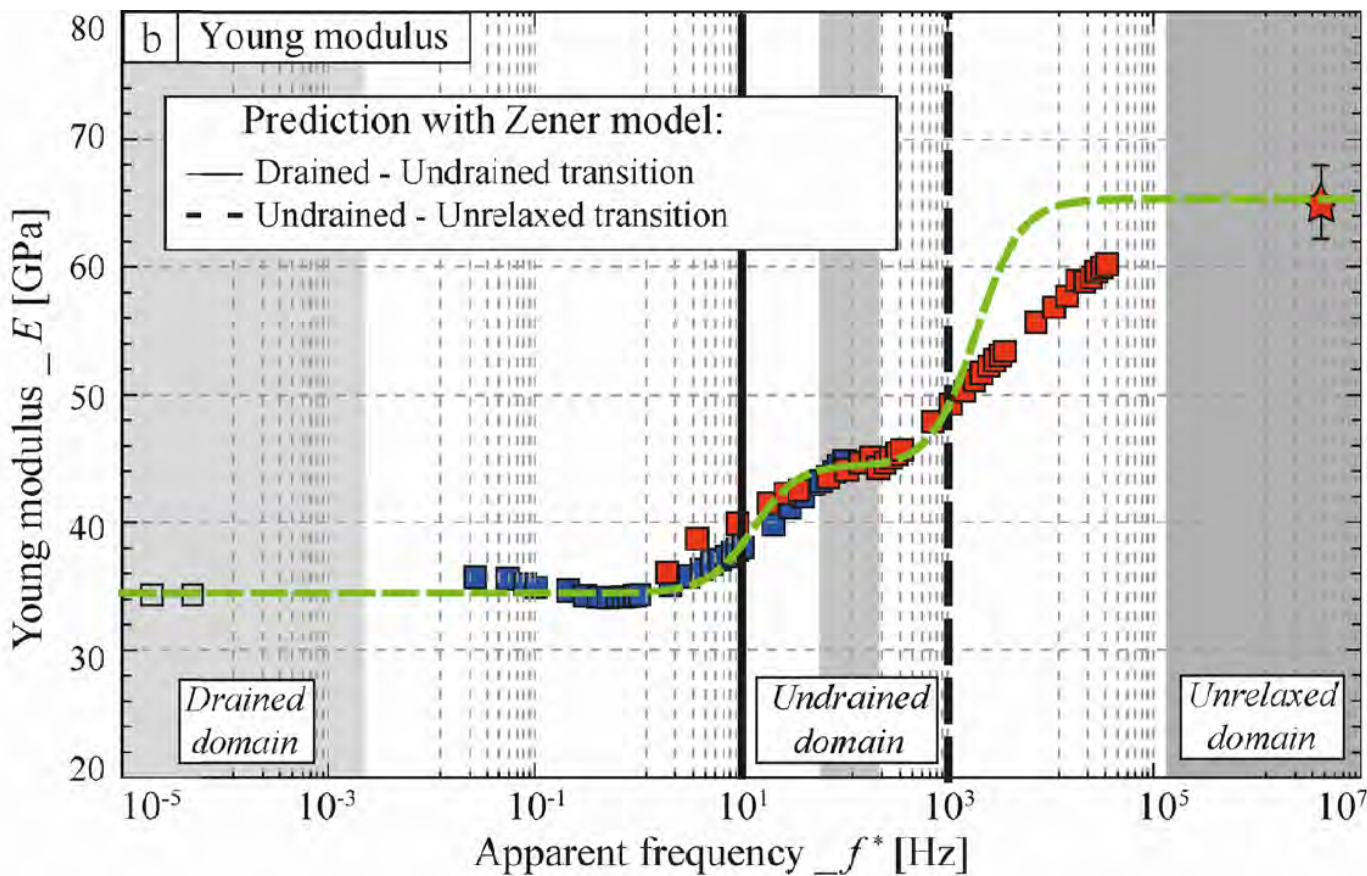
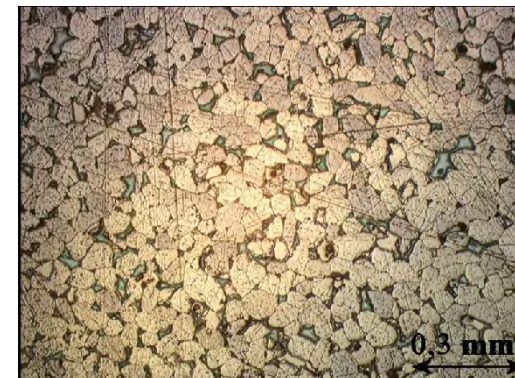
Sandstone
Porosity 7%
Permeability 1 mD
Pure quartz



III- Resultats sur le grès de Fontainebleau

$$P_{eff} \sim 1 \text{ MPa}$$

Sandstone
Porosity 7%
Permeability 1 mD
Pure quartz

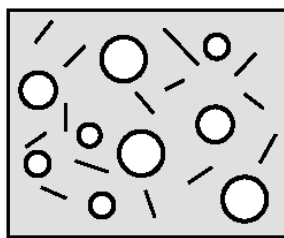
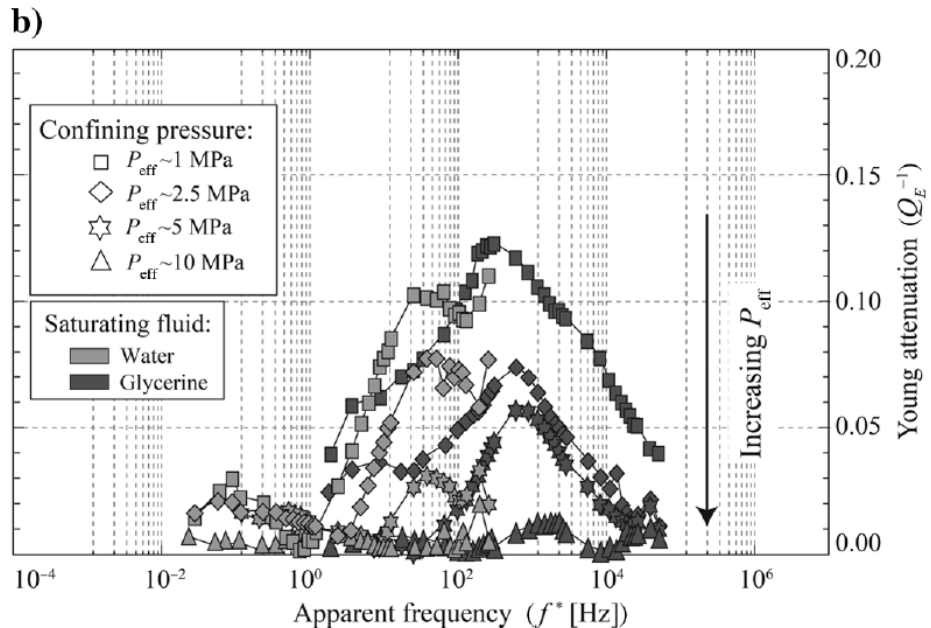
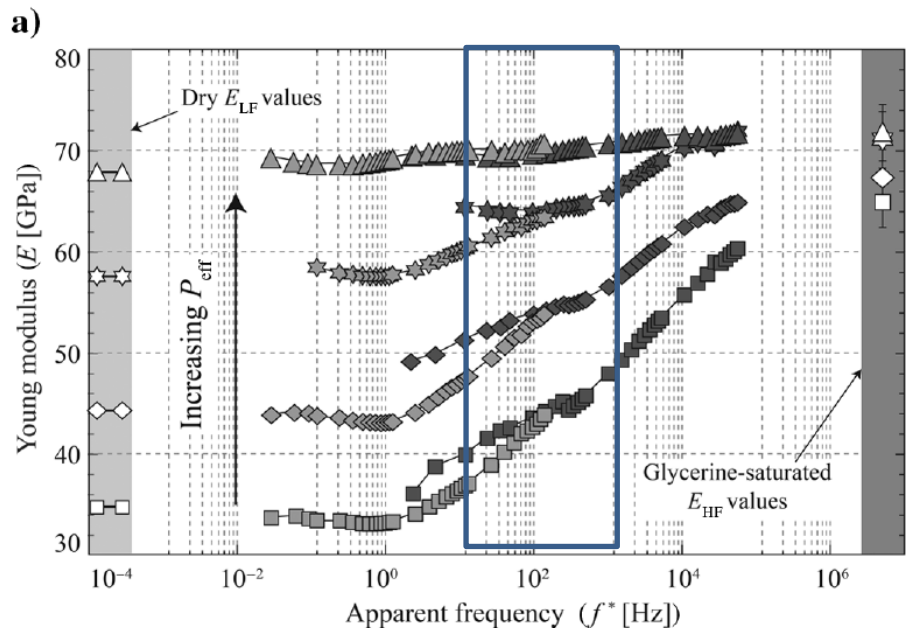
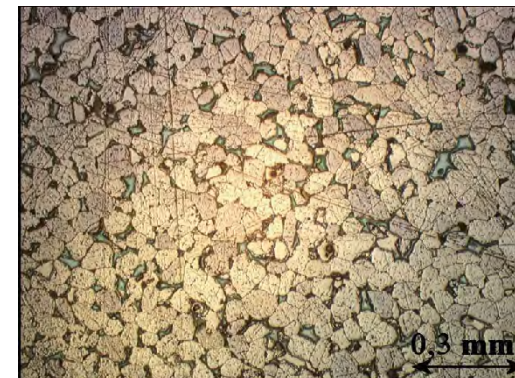


Mise en évidence
d'une deuxième
dispersion

III- Resultats sur le grès de Fontainebleau

Si la pression de confinement est augmentée
l'effet de squirt flow tend à disparaître

Sandstone
Porosity 7%
Permeability 1 mD
Pure quartz



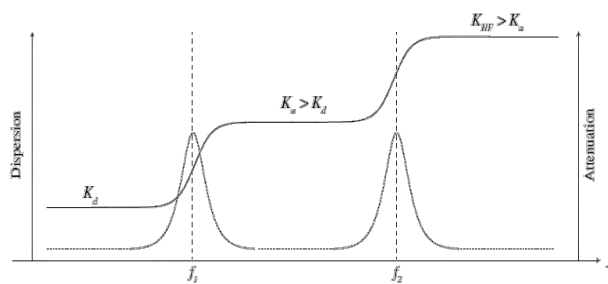
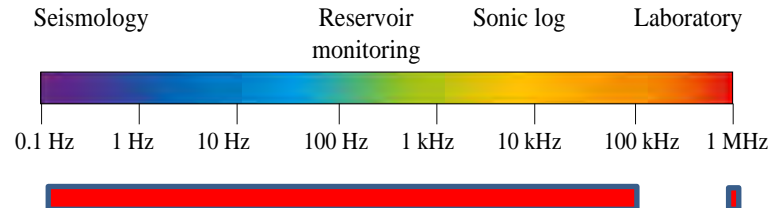
Avec la pression, les fissures se referment...

Conclusions

- Nouveau dispositif expérimental permettant de mesurer les modules élastiques en fonction de la fréquence (sous pression)

- On observe deux Mécanismes de dispersion

- La transition drainé-non drainé est toujours observée et se modélise dans le cadre de la poroélasticité
- La seconde transition est fortement corrélée avec la microstructure (présence ou non de fissures ou de vides très souples) et être attribué à un mécanisme de squirt-flow



Merci



Références sur les effets de fréquences

Adelinet et al. GRL 2010

Adelinet et al. Tectonophysics 2011

David et al. Geophysics 2013

Fortin et al. TLE 2014

Pimienta et al. Geophysics 2015a

Pimienta et al. Geophysics 2015b

Pimienta et al. Geophysics 2015c

Pimienta, et al. G. P. 2016

Borgomano et al. JGR 2017